



CONGRESO AMIINSHAE

2025



PROGRAMA

4 DICIEMBRE



REGISTRO

Registro de asistencia y participación/AMIINSHAE

9:00-9:30



INAUGURACIÓN

Autoridades
INSHAE/AMIINSHAE

9:30-9:50



DR. FELIX RECILLAS TARGA. UNAM

Conferencia Inaugural

Epigenética: Nuevos horizontes más allá de la genética.

9:50-10:40



DRA. INGEBORG D. BECKER FAUSER. UNAM

Conferencia Magistral

Leishmania mexicana: Genes, moléculas y mecanismos que garantizan su éxito.

10:40-11:40



POSTERS Aula Magna

11:40-13:40



COFFEE BREAK/ PATROCINADORES

13:40-14:00



DRA. ABIGAIL CASAS MUÑOZ. INP

Conferencia

Experiencias adversas en la infancia como predictores de conducta suicida y problemas de salud mental en adolescentes mexicanos.

14:00-14:50

PROGRAMA

5 DICIEMBRE



REGISTRO

Registro de asistencia y participación/AMIINSHAE

8:40-9:00



DR. RAFAEL VELAZQUEZ CRUZ. INMEGEN

Conferencia

Microbioma, Vitamina D y Densidad Mineral Ósea, en la menopausia.

9:00-9:50



DR. RODRIGO GONZÁLEZ BARRIOS DE LA PARRA. INCAN

Conferencia

Integrando Radiómica y Genómica: Nuevas perspectivas en marcadores de resistencia a platino en cáncer testicular.

9:50-10:40



POSTERS Aula Magna

10:40-12:40



COFFEE BREAK/ PATROCINADORES

12:40-13:00



EVENTO CULTURAL

Pianchelo

13:00-14:00



DR. ANTONIO LAZCANO ARAUJO. UNAM. EL COLEGIO NACIONAL

Conferencia Magistral

Evolución de virus de RNA: el caso de los Coronavirus.

14:00-15:00



PREMIACIÓN Y CLAUSURA

Mejor Cartel de cada área:
Básica, Clínica, Social y Tecnológica
Palabras del Comité Organizador

15:00-15:20



VINCULACIÓN INTERINSTITUCIONAL

15:20-16:00



Auditorio Dr. Jesús Kumate Rodríguez
Hospital Infantil de México Federico Gómez

D. Márquez No. 162, Col. Doctores, Alcaldía Cuauhtémoc; CDMX C.P 06720

SESIÓN DE CARTELES 4 DE DICIEMBRE

MAMPARA	TITULO
1	"Efecto de la inhibición farmacológica de CaMKII sobre la proliferación, supervivencia y migración en líneas celulares de glioblastoma"
2	COMPUESTOS DE BENZIMIDAZOL Y TIAZOL INHIBEN LA ACTIVIDAD DE G6PD, SUPRIMEN LA EXPRESIÓN DE SIRT 2 Y VEGF, E INDUCEN CITOTOXICIDAD EN CÉLULAS DE GLIOMA
3	Concentrado de Jugo de Garambullo: Potencial nefroprotector durante el síndrome metabólico en un modelo de dieta alta en grasa (HFD)
4	Cuantificación de la expresión de microRNAs en derrame pleural de pacientes con cáncer de pulmón: estudio piloto
5	Salmonella Typhimurium atenuada que expresa en su superficie un scFv anti-TfR1 mejora su adhesión a células de linfoma no Hodgkin humano con fines antitumorales
6	Desequilibrio redox en el calostro: una consecuencia de la obesidad materna
7	Determinación de la interacción in vitro de saquinavir con la proteína de espiga de SARS-CoV-2
8	Efecto de la diabetes gestacional sobre la proliferación y diferenciación de las células troncales neurales del mesencéfalo ventral de embriones de rata de 12 días: Posible participación del Ca ²⁺
9	Efecto de IFN-γ, solo o en combinación con TNF-α, sobre la presencia de moléculas inmunorreguladoras en vesículas extracelulares liberadas por Células Troncales Mesenquimales de Médula Ósea
10	Efecto de la hiperglucemia materna sobre la migración de las células de la cresta neural cardíaca durante la formación de los tractos de salida ventriculares en embriones de rata.
11	Efecto de vesículas derivadas de células de meduloblastoma sobre la producción de citocinas en células endoteliales cerebrales y macrófagos.
12	Efectos de la hiperglucemia sobre la incorporación del tronco arterioso al corazón tetracavitorio. Estudio in ovo.
13	El direccionamiento profiláctico de E5 HPV16 a CDs reduce el crecimiento tumoral y metástasis



SESIÓN DE CARTELES 4 DE DICIEMBRE

MAMPARA	TITULO
14	Evaluación de HIF-1 en la modulación de la expresión de la quimiocina CCL20 en la leucemia linfoblástica aguda pediátrica.
15	Evaluación de los niveles de vIL-10 en pacientes leucémicos y no leucémicos infectados con citomegalovirus
16	Evaluación del crecimiento óseo tras el tratamiento con radioterapia de cráneo total de ultra-alta tasa de dosis (FLASH) en ratones juveniles
17	Evaluación del nivel de interacción de microARN-9-5p con blancos que participan en la corticogénesis de embriones en rata diabética
18	Evaluación in silico de compuestos con núcleo de benzotiazol como potenciales agentes antidiabéticos multitarget
19	EVALUACIÓN IN VIVO DE LA RESPUESTA INFLAMATORIA DEL USO DE PARCHES DE ALGINATO-QUITOSANO EN UN MODELO DE HERIDA
20	HIF-1 regula transcripcionalmente a CCR6 e induce transición epitelio mesénquima
21	La diabetes materna altera la expresión de moléculas relacionadas con la entrada de Ca ²⁺ en el prosencéfalo y la dinámica intracelular de Ca ²⁺
22	La hiperglucemia materna retrasa el desarrollo cardíaco y aumenta la proliferación de las células de la cresta neural cardíacas durante la formación de la cresta supraventricular.
23	La obesidad afecta negativamente el metabolismo de lípidos mamario y hepático durante la gestación, alterando el desarrollo fetal.
24	La transferencia horizontal de mitocondrias y proteínas en el microambiente de la médula ósea puede contribuir a la quimiorresistencia de células leucémicas
25	Modulación de la expresión de PDL1 en epitelio bronquial expuesto a células derivadas de melanoma
26	Parches cardíacos generados a partir de cardiomiositos neonatales mediante ingeniería de tejidos para reparar el infarto al miocardio





SESIÓN DE CARTELES 4 DE DICIEMBRE

MAMPARA	TITULO
27	Perfiles de neutralización de anticuerpos anti-DENV 2 y DENV4 en personas seropositivas de CDMX y Aguascalientes. Reporte preliminar.
28	Prevalencia de citomegalovirus congénito en recién nacidos con infección activa desapercibida en un estudio retrospectivo utilizando sangre seca en papel filtro
29	Relación de la obesidad materna con la modulación de SOD3 en las diferentes etapas de la leche humana
30	Riesgos de la multiparidad y el impacto en el desarrollo y función metabólica de su descendencia
31	Variantes en genes relacionados a telómeros se asocian a susceptibilidad a enfermedades respiratorias crónicas.
32	Variantes en los genes RYR1 y RYR3 sugieren una asociación con los niveles de insulina y el índice HOMA-IR en la población mestiza mexicana.
33	Variantes en TBXT y STAT6 y su asociación con la respuesta a corticosteroides sistémicos en pacientes con COVID-19 severa
34	Análisis de los factores de riesgo causantes de gonartrosis en mujeres de 40 a 60 años de edad del centro especializado en medicina integrativa.
35	Análisis de microARN en pacientes con úlceras diabéticas y amputación de miembros inferiores
36	Beneficios de una dieta anti-inflamatoria, en comparación con una dieta baja en residuo durante la quimiorradioterapia concomitante en pacientes con cáncer cervicouterino localmente avanzado: Resultados de un ensayo clínico aleatorizado
37	Cambios en la alimentación durante la COVID-19 en hogares de Cuautla, Morelos.
38	Comparación de dos regímenes de suplementación de vitamina D en pacientes con COVID-19 agudo.
39	Estudios de docking molecular y síntesis química de nuevos híbridos benzotiazol-hidantoína como potenciales agentes terapéuticos para la diabetes tipo 2

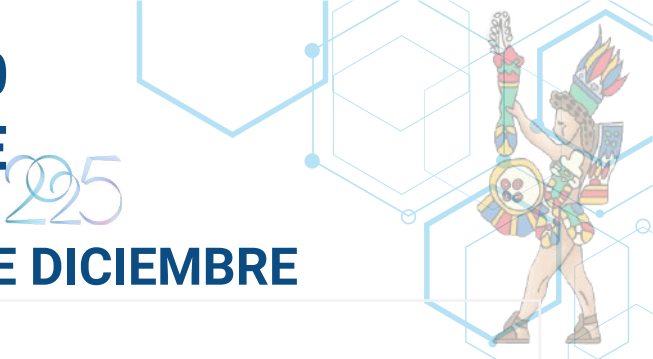




SESIÓN DE CARTELES 4 DE DICIEMBRE

MAMPARA	TITULO
40	Evaluación de puntos de control inmunológico en la subpoblación de linfocitos T CD8+ en pacientes pediátricos con LLA-B.
41	EXPRESIÓN GÉNICA DE MARCADORES DE ESTRÉS NEUROQUÍMICO Y PROTUMORALES EN OSTEOSARCOMA, TEJIDO ADYACENTE Y HUESO SANO
42	Indicadores de Calidad de la Dieta y la Ganancia de Peso Gestacional en Adolescentes durante la Gestación
43	Papel de los microARN circulantes en la tetralogía de Fallot
44	Patología tiroidea en pacientes con poliposis adenomatosa familiar: cohorte retrospectiva.
45	PERFIL CLÍNICO, ADHERENCIA TERAPÉUTICA Y EVOLUCIÓN TEMPRANA EN POBLACIÓN MEXICANA CON TRASPLANTE RENAL
46	Pilomatrixoma atípico en adulto con abordaje quirúrgico y seguimiento multidisciplinario: reporte de caso
47	Relación el daño oxidativo al ADN con los cuestionarios de food craving, comedor emocional y parámetros nutricionales, en pacientes con sobrepeso/obesidad.
48	SUBGRUPOS MOLECULARES DE MEDULOBLASTOMAS PEDIÁTRICOS Y BLANCOS TERAPÉUTICOS POTENCIALES
49	Suplementación con vitamina D y su asociación con la actividad de glutatión peroxidasa, interleucina-6 y síntomas de ansiedad y depresión en la condición post-COVID-19
50	Variantes genéticas en IL10 y niveles plasmáticos de IL-10 se asocian con peor desenlace en pacientes con COVID-19 severa en la respuesta al tratamiento con corticosteroides
51	La Unidad de Investigaciones Cerebrales en los inicios de la investigación en el Instituto Nacional de Neurología y Neurocirugía "Manuel Velasco Suárez"
52	Desarrollo de un nanosistema para la entrega dirigida de un sesquiterpeno para el tratamiento de cáncer de mama Luminal





SESIÓN DE CARTELES 4 DE DICIEMBRE

MAMPARA	TITULO
53	Nanopartículas TiO ₂ -FA-ZnPc: Análisis morfológico, térmico y citotóxico para aplicación en terapia fotodinámica
54	Nanoplataforma terapéutica de sílice mesoporosa: liberación controlada de δ-cadineno e inhibición de la invasión en cáncer de mama triple negativo en México
55	Perfil transcriptómico y microambiente tumoral en meduloblastomas pediátricos de los grupos SHH, G3 y G4
56	Análisis de la clasificación submolecular post tratamiento neoadyuvante en pacientes con cáncer de mama y su impacto clínico
57	Morbimortalidad por COVID-19 asociada a factores de riesgo por síndrome metabólico en población urbana e indígena en México





SESIÓN DE CARTELES 5 DE DICIEMBRE

MAMPARA	TITULO
1	Análisis transcriptómico y enriquecimiento de vías funcionales endoteliales en placenta de pacientes con preeclampsia.
2	ASOCIACIÓN DE VARIANTES EN GLCCI1 Y CRHR1 CON LA RESPUESTA AL TRATAMIENTO CON CORTICOESTEROIDES EN PACIENTES CON EPOC O ASMA
3	Cambios del factor de crecimiento de hepatocitos (HGF) en el hipocampo de ratas con epilepsia del lóbulo temporal tratadas con levetiracetam
4	Cambios morfológicos celulares inducidos por isquemia cerebral focal y reperfusión
5	CARACTERIZACIÓN BIOQUÍMICA Y BIOINFORMATICA DE SEIS VARIANTES GRAVES DE G6PD LOCALIZADAS EN EL EXÓN 10, ASOCIADAS CON MANIFESTACIONES CLÍNICAS GRAVES
6	Compuestos fenólicos y actividad antioxidante en alimentos prehispánicos aplicados a una dieta experimental para la rata Wistar
7	Compuestos tiazolididos análogos a la nitazoxanida inducen expresión diferencial de genes, alteraciones estructurales y muerte celular en Giardia lamblia
8	Contaminación ambiental por Candida parapsilosis en la unidad de terapia intensiva pediátrica de hospitales de tercer nivel
9	Desarrollo y caracterización de un minianticuerpo anti-Tfr1 acoplado a péptidos permeables proapoptóticos Bax-BH3 que reconoce células de Linfoma no Hodgkin con fines antitumorales.
10	Desarrollo y caracterización de una cepa de <i>Salmonella</i> enterica atenuada productora de minicélulas funcionales para aplicaciones biomédicas.
11	Determinar la eficacia de un biopolímero (PVA) electrohilado con fluconazol a través de su aplicación con Ácido hialurónico en pacientes con onicocriptosis en CDMX.
12	Efecto citotóxico de la ceniza del volcán Popocatépetl en una línea celular de epitelio bronquial.
13	Efecto del benzo[ghi]perileno en la regulación de los genes del reloj molecular del ciclo circadiano, por acción del gen NRIP1



SESIÓN DE CARTELES 5 DE DICIEMBRE

MAMPARA	TITULO
14	Efecto del extracto etanólico de Justicia spicigera sobre el crecimiento de parásitos en cultivo
15	Efecto del levetiracetam sobre la expresión de la subunidad GluR1 del receptor AMPA en giro dentado de rata con epilepsia del lóbulo temporal
16	EFFECTOS BIOLÓGICOS DIFERENCIALES DE CURCUMINOIDES Y DE SUS COMPLEJOS METÁLICOS EN COMBINACIÓN CON NAC, EN CÉLULAS ASTROCÍTICAS SVGp12 Y DE GLIOBLSTOMA A172: UN MECANISMO QUE DEPENDE DE AUTOFAGIA Y DIFERENCIACIÓN CELULAR
17	EFFECTOS BIOLÓGICOS INDUCIDOS POR LA EXPOSICIÓN A 9-NITROANTRACENO EN LA LINEA CELULAR BRONQUIAL NL20.
18	Efectos del humo de tabaco y de los aerosoles del cigarrillo electrónico sobre la estructura y función renal en un modelo experimental con cobayos
19	El contaminante atmosférico benzo[ghi]perileno induce la transición epitelio-mesénquima en células bronquiales NL20 in vitro
20	El hipotiroidismo adquirido induce conductas tipo depresivas, pero no ansiosas, en ratas Wistar adultas
21	Evaluación de la actividad antioxidante de Levetiracetam en un modelo de epilepsia del lóbulo temporal
22	Evaluación del efecto protector de la luteolina frente al estrés oxidativo inducido por la atomoxetina en ratas jóvenes.
22	Evaluación del efecto protector de la luteolina frente al estrés oxidativo inducido por la atomoxetina en ratas jóvenes.
23	Evaluación de cepas de <i>Bacillus thuringiensis</i> aisladas de la cuenca del Papaloapan para la producción sostenible de bacteriocinas para el posible control de biofilms de <i>Escherichia coli</i>
24	EVALUACIÓN TOXICOLÓGICA DEL EXTRACTO ALCOHOLICO CRUDO DE CARICA DE PAPAYA EN UN MODELO DE RATON BALB/C
25	Expresión del receptor de interferon gamma (IFN- γ R) en células epiteliales intestinales
26	Influencia del IMC-pregestacional sobre la presencia de glutatión peroxidasa en las etapas de la leche humana



Aula Magna

Hospital Infantil de México Federico Gómez



SESIÓN DE CARTELES 5 DE DICIEMBRE

MAMPARA	TITULO
27	La activación de HIF-1 modula la expresión de CCL20 en células de epitelio bronquial y en un modelo murino de inflamación alérgica pulmonar.
28	La mejora de la función tímica optimiza la reconstitución de células T y la respuesta inmune en ratones envejecidos
29	Las células troncales mesenquimales activadas con TNF- $\hat{\alpha}$ e IFN- $\hat{\beta}$, liberan vesículas extracelulares CD54+, PD-L1+ y CD73+ capaces de disminuir la proliferación de los linfocitos T
30	Papel del flavonoide quercetina frente a las alteraciones inducidas por el fármaco para el TDAH atomoxetina in vitro.
31	Propiedades estructurales y ADMET de flavonoides neuroprotectores en eventos de isquemia cerebral
32	¿La vacunación modifica la gravedad de los casos hospitalizados por influenza?
33	Translocación nuclear de OCT-4, SOX-2 y NANOG en las células de epitelio amniótico humano
34	Transmisión vertical de Trypanosoma cruzi en mujeres que acuden a 3 hospitales de Tamaulipas
35	Análisis piloto de la prevalencia de bacteriuria asintomática en pacientes con DM2 en Gachupines, Ocampo, Gto.
36	Análisis del subconjunto de células T CD4+ foliculares (ThF) de sangre periférica en pacientes con Errores Innatos de la Inmunidad(EII)
37	Anemia hemolítica autoinmune mediada por crioaglutininas y su manejo transfusional. Reporte de caso del INCMNSZ.
38	Asociación entre la variante C677T del gen de la Metilentetrahidrofolato reductasa (MTHFR) y la Epilepsia Mioclónica Juvenil en una muestra de la población mexicana.
39	Asociación de polimorfismos de un solo nucleótido, presentes en genes relacionados con la degradación de beta amiloide y su interacción con ApoE4, en una población mestiza mexicana con enfermedad de Alzheimer





SESIÓN DE CARTELES 5 DE DICIEMBRE

MAMPARA	TITULO
40	CAUSAS MÁS FRECUENTES DE ESTADO VEGETATIVO EN NIÑOS.
41	DEPRESIÓN Y CALIDAD DE VIDA RELACIONADA CON LA SALUD BUCAL. REVISIÓN SISTEMÁTICA
42	Desarrollo Neuropsicológico, Conducta Adaptativa y Desarrollo Intelectual en infantes con Hipotiroidismo Congénito.
43	Enfermedad de Lyme; zoonosis emergente en el sur de Veracruz, a propósito de 3 casos.
44	Estatus de vitamina D como predictor de sintomatología depresiva en adolescentes gestantes
45	Evidencia serológica y molecular de <i>Anaplasma Phagocytophilum</i> en pacientes del sur de Veracruz
46	Factores asociados a lesión craneoencefájica en pacientes con accidente de motocicleta
47	Identificación de anticuerpos irregulares en donadores de sangre del INCMNSZ, en el transcurso de dos años
48	Impacto de las variantes de los genes ABCB1 y CYP3A5 sobre el riesgo y discapacidad en pacientes mexicanos con esclerosis múltiple.
49	La experiencia del embarazo de alto riesgo: momentos significativos para comprenderlo desde su complejidad simbólica-social
50	Panorama epidemiológico actual de <i>E. faecium</i> en población pediátrica hospitalizada
51	Prevalencia de infecciones parasitarias intestinales en niñ@s de Iguala, Guerrero. Resultados preliminares
52	Prevalencia, características endoscópicas y patológicas de la infección por <i>Helicobacter pylori</i> , en pacientes del Hospital Juárez de México
26	Influencia del IMC-pregestacional sobre la presencia de glutatión peroxidasa en las etapas de la leche humana





SESIÓN DE CARTELES 5 DE DICIEMBRE

MAMPARA	TITULO
53	Retraso hospitalario y desenlace clínico de pacientes con evento vascular cerebral isquémico y hemorrágico
54	Sobrevida en una cohorte de pacientes con parálisis supranuclear progresiva.
55	Variantes genéticas candidatas a biomarcadores de farmacorresistencia en epilepsia pediátrica
56	Diferencias por sexo en la experiencia de diagnóstico presintomático para la enfermedad de Huntington: Impacto emocional, social y familiar.
57	Variaciones en el volumen cerebral, en memoria y en atención selectiva y su asociación con la desnutrición crónica de niños escolares mazahuas
58	Alteraciones en la inmunidad T asociadas a la disfunción de p63 en el timo

